

УДК 538.1

©1995

МАГНИТОУПРУГИЕ АНОМАЛИИ ТЕПЛОВОГО РАСШИРЕНИЯ РЕДКОЗЕМЕЛЬНЫХ ВАНАДАТОВ RVO_4

3.А.Казей, Н.П.Колмакова

Московский государственный университет им.М.В.Ломоносова

(Поступила в Редакцию 16 августа 1994 г.)

Проведены систематические экспериментальные и теоретические исследования теплового расширения редкоземельных (РЗ) ванадатов RVO_4 ($\text{R} = \text{Gd-Tm}$). Обнаружен значительный магнитоупругий вклад РЗ ионов в тепловое расширение исследованных ванадатов, а также существенное различие этого вклада для ванадатов и фосфатов. Показано, что аномалии теплового расширения RVO_4 хорошо описываются температурными зависимостями квадрупольных моментов РЗ ионов, рассчитанных по известным параметрам кристаллического поля. Сделаны оценки полносимметричных магнитоупругих констант и проведено сравнение магнитоупругих аномалий теплового расширения РЗ ванадатов и РЗ фосфатов с учетом различия кристаллических полей этих двух групп цирконов.

Редкоземельные (РЗ) ванадаты относятся к классу интенсивно исследуемых ян-теллеровских эластиков с тетрагональной структурой циркона с общей формулой RXO_4 , где R — РЗ ион, а X — ион V , As или P . Известно, что в РЗ цирконах помимо сильного одноионного магнитоупрого взаимодействия часто присутствует также парное квадрупольное или ян-теллеровское взаимодействие [1]. Исследования одноионных магнитоупругих и парных квадрупольных констант взаимодействия различной симметрии в РЗ цирконах показывают, что все они, вообще говоря, сравнимы по величине и могут существенно влиять на магнитные и магнитоупругие свойства этих соединений.

Полное число констант взаимодействия для кристалла тетрагональной симметрии в общем случае достигает девяти, и они должны быть определены независимым образом, например, в рамках формализма восприимчивостей [2] с использованием экспериментальных данных по нелинейной восприимчивости, параптриции и магнитоупругим аномалиям упругих констант. Магнитоупругие вклады в эти характеристики зависят как от индивидуальных свойств РЗ иона, определяемых его спектром и волновыми функциями, так и от магнитоупругих коэффициентов, определяемых главным образом свойствами матрицы. Хорошо апробированный формализм восприимчивостей, использующий реальный спектр и волновые функции РЗ иона, позволяет разделить эти два вклада. Наиболее простым и достоверным экспериментальным методом определения полносимметричных, т.е. не приводящих к понижению исходной тетрагональной симметрии, магнитоупругих констант (кубической $B^{\alpha 1}$ и тетрагональной $B^{\alpha 2}$) является, на наш взгляд, исследование магнитоупругих аномалий теплового расширения.

Систематические экспериментальные и теоретические исследования магнитоупругих и квадрупольных взаимодействий проведены для множества РЗ интерметаллических соединений с кубической структурой [3,4] и в гораздо меньшем объеме с тетрагональной [5]. Аналогичные исследования для окисных РЗ соединений не так многочисленны. Можно отметить работы, в которых исследованы магнитоупругие аномалии теплового расширения РЗ алюминатов- и галлатов-гранатов [6], а также РЗ фосфатов со структурой циркона [7].

Подчеркнем, что наиболее информативны и интересны систематические исследования магнитоупругих взаимодействий (так же как и кристаллического поля (КП)) по ряду РЗ соединений с данной структурой. При таком подходе имеется возможность проследить за изменением магнитоупругих констант по ряду РЗ соединений с данной структурой, сравнить магнитоупругие константы для различных структур и таким образом связать их с особенностями кристаллической структуры и структурными характеристиками. Это в свою очередь позволяет приблизиться к более глубокому пониманию магнитоупругих взаимодействий на микроскопическом уровне.

Целью настоящей работы являлось исследование вклада магнитоупрого взаимодействия в тепловое расширение РЗ ванадатов. Ранее аналогичные исследования были проведены для серии РЗ фосфатов со структурой циркона с тяжелыми РЗ ионами [7]. Параметры кристаллического поля для РЗ ванадатов и фосфатов заметно отличаются, причем наиболее существенное отличие состоит в том, что параметр второго порядка B_2^0 имеет разные знаки для этих групп цирконов. По этой причине одни и те же РЗ ионы имеют сильно различные спектры и, следовательно, ведут себя совершенно по-разному в этих родственных структурах. Поэтому несомненный интерес представляет систематическое исследование магнитоупругих взаимодействий для серии РЗ ванадатов и последующее их сравнение с РЗ фосфатами с учетом различия кристаллических полей и структурных параметров.

1. Теоретическое рассмотрение

Для расчета вклада РЗ иона в тепловое расширение ванадатов мы используем гамильтониан, включающий в себя гамильтониан кристаллического поля H_1 и магнитоупругий гамильтониан H_2 . Поскольку вклад РЗ иона в тепловое расширение не зависит от парных квадрупольных взаимодействий низкой симметрии [7], в гамильтониане опущены члены, описывающие это взаимодействие.

Что касается полносимметричного парного квадрупольного взаимодействия, характеризуемого константой K^α , оно в принципе может вносить вклад в тепловое расширение. Причем оба типа полносимметричных взаимодействий (одноионное магнитоупругое ($B^{\alpha 1}$ и $B^{\alpha 2}$) и парное квадрупольное (K^α)) помимо прямого вклада в тепловое расширение дают дополнительный вклад через влияние на спектр РЗ иона. Действительно, результирующая константа полносимметричных взаимодействий G^α , являющаяся функцией $B^{\alpha 1}$, $B^{\alpha 2}$ и K^α , обуславливает некоторую добавку $G^\alpha < O_2^0 > O_2^0$ к члену кристаллического поля второго порядка $B_2^0 O_2^0$ и, таким образом, спонтанное изменение с

температурой спектра РЗ иона. Реальные величины одноионных и парных квадрупольных констант взаимодействия, однако, таковы, что максимальная величина этого вклада при низких температурах не превышает 5–7% от статического параметра кристаллического поля B_2^0 и может оказывать заметное влияние только на квазивырожденные низколежащие уровни РЗ иона, как происходит, например, для иона Tb в структуре фосфата [8].

Для кристалла тетрагональной симметрии гамильтониан КП имеет известный вид

$$H_1 = \alpha_J B_2^0 O_2^0 + \beta_J (B_4^0 O_4^0 + B_4^4 O_4^4) + \gamma_J (B_6^0 O_6^0 + B_6^4 O_6^4), \quad (1)$$

где α_J , β_J , γ_J — параметры Стевенса, B_n^m — параметры КП, O_n^m — эквивалентные операторы.

Магнитоупругий гамильтониан в квадрупольном приближении, линейный по компонентам тензора деформации ε^μ [9] (гармоническое приближение), определяется пятью независимыми магнитоупругими коэффициентами B^μ , из которых только полносимметричные константы $B^{\alpha 1}$ и $B^{\alpha 2}$ существенны для рассчитываемого магнитоупругого вклада

$$H_2 = -\alpha_J (B^{\alpha 1} \varepsilon^{\alpha 1} + B^{\alpha 2} \varepsilon^{\alpha 2}) O_2^0, \quad (2)$$

где $O_2^0 = 3Q_{zz} = 3J_z^2 - J(J+1)$.

Упругая энергия тетрагонального кристалла при учете только полносимметричных деформаций определяется через симметризованные компоненты тензора деформации следующим образом [9]:

$$E = \frac{1}{2} C_0^{\alpha 1} (\varepsilon^{\alpha 1})^2 + C_0^{\alpha 1 2} \varepsilon^{\alpha 1} \varepsilon^{\alpha 2} + \frac{1}{2} C_0^{\alpha 2} (\varepsilon^{\alpha 2})^2, \quad (3)$$

где C_0^μ — симметризованные упругие постоянные решетки без учета магнитных взаимодействий. Связь между ε^μ , C^μ и декартовыми компонентами ε_{ij} , C_{ij} приведена, например, в [2].

РЗ вклад в тепловое расширение решетки можно найти обычным образом из условия минимума свободной энергии, содержащей упругий и магнитоупругий члены. Для параметров a и c тетрагональной решетки получаем

$$\frac{\Delta c_{p3}(T)}{\sqrt{3}c_0} = \frac{B^{\alpha 1} (C_0^{\alpha 2} - \sqrt{2}C_0^{\alpha 1 2}) + B^{\alpha 2} (\sqrt{2}C_0^{\alpha 1} - C_0^{\alpha 1 2})}{C_0^{\alpha 1} C_0^{\alpha 2} - (C_0^{\alpha 1 2})^2} Q_0(T), \quad (4)$$

$$\frac{\Delta a_{p3}(T)}{\sqrt{3}a_0} = \frac{B^{\alpha 1} (C_0^{\alpha 2} + C_0^{\alpha 1 2}/\sqrt{2}) - B^{\alpha 2} (C_0^{\alpha 1}/\sqrt{2} + C_0^{\alpha 1 2})}{C_0^{\alpha 1} C_0^{\alpha 2} - (C_0^{\alpha 1 2})^2} Q_0(T), \quad (4a)$$

где $Q_0(T) = \alpha_J \langle Q_{zz} \rangle = \frac{1}{3} \alpha_J \langle O_2^0 \rangle = \frac{1}{3} \alpha_J \frac{1}{2} \sum_n \langle n | O_2^0 | n \rangle \exp(-E_n/k_B T)$, E_n и $|n\rangle$ — спектр и волновые функции РЗ иона, полученные для гамильтониана кристаллического поля H_1 .

Таким образом, РЗ вклад в тепловое расширение кристалла определяется изменением с температурой квадрупольных моментов РЗ ионов Q_0 , которые могут быть рассчитаны численно по известным параметрам КП.

2. Образцы и методика измерений

Измерения были проведены на монокристаллических образцах, выращенных методом спонтанной кристаллизации из раствора в расплаве с использованием в качестве растворителя расплава $\text{PbO}-\text{PbF}_2-\text{V}_2\text{O}_5-\text{H}_3\text{BO}_3$.

Рентгенографические исследования параметров a и c тетрагональной элементарной ячейки проводились на дифрактометре «Гейгерфлекс» с проточным гелиевым криостатом CF-108 (Oxford Instruments). Температурные измерения были выполнены на монокристаллических пластинках с естественными кристаллическими гравями (100) по рефлексам (10.00) (излучение $\text{Cu}K_\beta$, $2\theta \sim 150 \div 160^\circ$) и (008) (излучение $\text{Cu}K_{\alpha 1}$, $2\theta \sim 152 \div 160^\circ$). Относительная ошибка измерения параметров a и c по температуре составляла $\delta a/a \approx \delta c/c \approx \operatorname{ctg} \theta \Delta \theta \approx 10^{-5}$ ($\Delta \theta \approx 0.003^\circ$).

3. Экспериментальные результаты

Для большинства ванадатов с тяжелыми РЗ ионами было обнаружено похожее изменение параметров решетки с температурой, отличающееся лишь величинами магнитоупругих аномалий и характерных температур (рис. 1-3). Рассмотрим особенности теплового расширения РЗ ванадатов более подробно на примере DyVO_4 . На рис. 1 приведены экспериментальные температурные зависимости параметров a и c (кривые 1 и 2) тетрагональной элементарной ячейки DyVO_4 . Для удобства сравнения приведены относительные изменения этих параметров, нормированные на их значения при комнатной температуре, $\Delta a/a = a(T)/a_0 - 1$, $\Delta c/c = c(T)/c_0 - 1$, где $a_0 = a(290 \text{ K})$, $c_0 = c(290 \text{ K})$. Сплошными линиями на рис. 1 показаны аналогичные зависимости для GdVO_4 , для которого магнитоупругий вклад S иона Gd в тепловое расширение должен быть мал. По этой причине зависимости $\Delta a/a$ и $\Delta c/c$

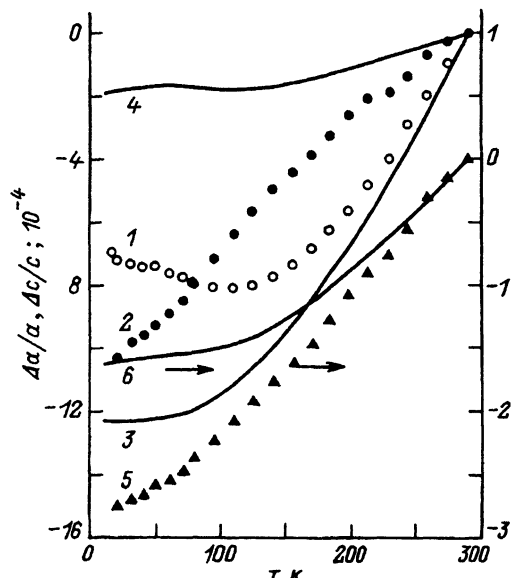


Рис. 1. Относительные изменения с температурой параметров $\Delta a/a$ (1) и $\Delta c/c$ (2) и объема $\Delta V/V$ (5) тетрагональной элементарной ячейки DyVO_4 . Для сравнения показаны аналогичные зависимости $\Delta a/a$ (3), $\Delta c/c$ (4) и $\Delta V/V$ (6) для GdVO_4 .

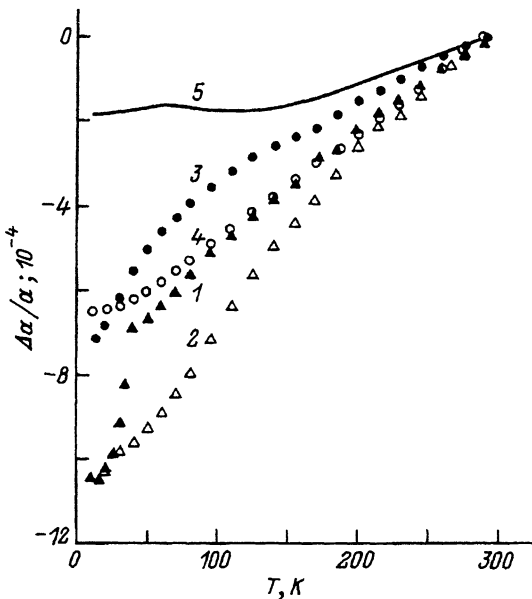


Рис. 2. Относительные изменения с температурой параметра $\Delta a/a$ тетрагональной элементарной ячейки РЗ ванадатов.
 1 — TbVO₄ ($a(290\text{ K}) = 7.1789\text{ \AA}$),
 2 — DyVO₄ ($a(290\text{ K}) = 7.1485\text{ \AA}$), 3 —
 HoVO₄ ($a(290\text{ K}) = 7.1244\text{ \AA}$),
 4 — TmVO₄ ($a(290\text{ K}) = 7.0705\text{ \AA}$),
 5 — GdVO₄ ($a(290\text{ K}) = 7.2148\text{ \AA}$).

GdVO₄ могут использоваться для оценки теплового расширения матрицы (или фононного вклада в тепловое расширение) других ванадатов RVO₄.

Отметим прежде всего значительную анизотропию теплового расширения решетки ванадатов: относительное изменение параметров элементарной ячейки GdVO₄ вдоль и перпендикулярно тетрагональной оси в интервале температур 290÷10 K достигает $\sim 2 \cdot 10^{-4}$ и $\sim 12.5 \cdot 10^{-4}$ соответственно. Этим РЗ ванадаты RVO₄ со структурой циркона отличаются от РЗ фосфатов RPO₄, для которых анизотропия теплового расширения решетки не превышает 10% [7]. Причина такого различия

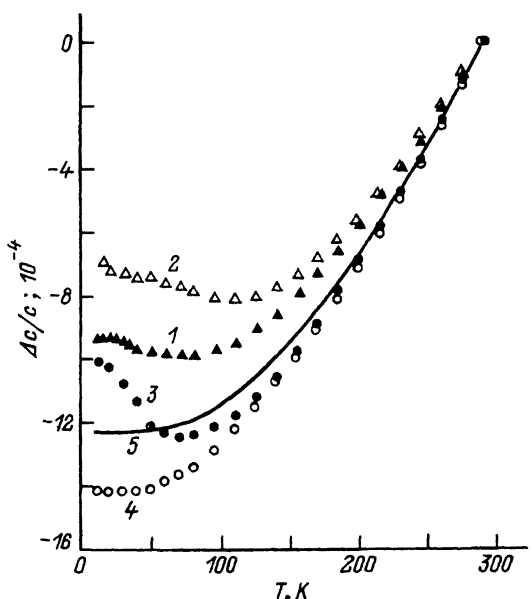


Рис. 3. Относительные изменения с температурой параметра $\Delta c/c$ тетрагональной элементарной ячейки РЗ ванадатов.
 1 — TbVO₄ ($c(290\text{ K}) = 6.3254\text{ \AA}$), 2 — DyVO₄ ($c(290\text{ K}) = 6.307\text{ \AA}$), 3 — HoVO₄ ($c(290\text{ K}) = 6.2878\text{ \AA}$), 4 — TmVO₄ ($c(290\text{ K}) = 6.2573\text{ \AA}$), 5 — GdVO₄ ($c(290\text{ K}) = 6.3486\text{ \AA}$).

теплового расширения решетки ванадатов и фосфатов не совсем понятна. Эта анизотропия, по-видимому, не связана прямо со степенью тетрагонального искажения структуры. Действительно, для РЗ ванадатов степень тетрагонального искажения решетки $a/c - 1$ изменяется от 0.136 для Gd- до 0.128 для Lu-содинений, тогда как для РЗ фосфатов эта величина несколько больше и изменения происходят в интервале от 0.144 до 0.141. Отметим, однако, что РЗ фосфаты наиболее близки к порогу устойчивости структуры циркона: фосфаты с тяжелыми РЗ ионами, включая Tb, кристаллизуются в тетрагональной структуре циркона, тогда как с легкими РЗ ионами ($R=Pr-Gd$) — в моноклинной структуре моноцита.

По сравнению с $GdVO_4$ параметры a и c элементарной ячейки $DyVO_4$ обнаруживают аномальное температурное поведение. Зависимость $\Delta a(T)/a$ Dy-ванадата при всех температурах проходит ниже соответствующей зависимости $GdVO_4$. Эта зависимость отличается от дебаевской, и на ней наблюдается особенность типа точки перегиба, так что максимум коэффициента теплового расширения $\alpha_a = (1/a)da/dT$ приходится на температуру ~ 100 К.

Зависимость $\Delta c(T)/c$ Dy-ванадата (кривая 2 на рис. 1) имеет немонотонный характер с минимумом в районе 100 К, и результирующее тепловое расширение $DyVO_4$ в исследованной области температур меньше, чем $GdVO_4$ (кривая 4 на рис. 4). Коэффициент теплового расширения вдоль тетрагональной оси $\alpha_c = (1/c)dc/dT$ меняет знак при температуре 100 К, совпадающей с максимумом коэффициента α_a . Подчеркнем, что структурного фазового перехода в исследованной области температур в $DyVO_4$ не наблюдается, решетка остается тетрагональной, но меняется степень ее тетрагональности. Аномалии на зависимостях $\Delta a(T)/a$ и $\Delta c(T)/c$ $DyVO_4$ обусловливают отрицательную объемную аномалию $\Delta V(T)/V = 2\Delta a/a + \Delta c/c$ относительно $GdVO_4$ (ср. кривые 5 и 6 на рис. 1).

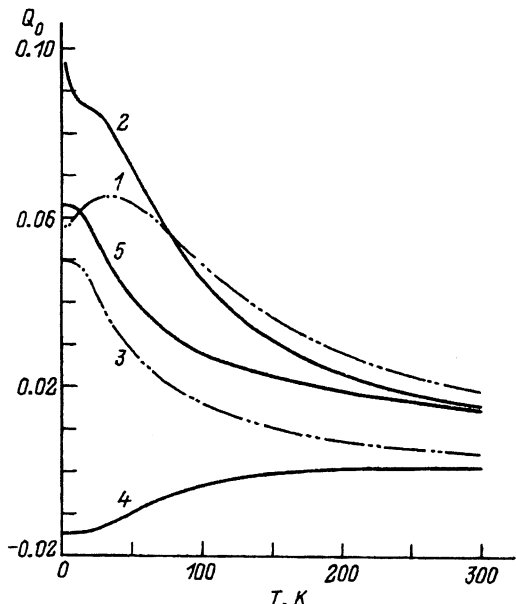


Рис. 4. Рассчитанные температурные зависимости квадрупольного момента Q_0 РЗ ванадатов.
1 — $TbVO_4$ [11], 2 — $DyVO_4$ [11],
3 — $HoVO_4$ [12], 4 — $ErVO_4$ [13], 5 — $TmVO_4$ [14]. Параметры КП взяты из цитируемых работ.

Систематических экспериментальных данных по тепловому расширению РЗ ванадатов в литературе нет, можно отметить только работу [10], в которой приведены температурные зависимости параметров a и с поликристаллического $DyVO_4$. Наши экспериментальные данные согласуются с результатами этой работы, в которой, однако, не обсуждается природа аномалий теплового расширения $DyVO_4$.

Для ванадатов $TbVO_4$, $HoVO_4$ и $TmVO_4$ наблюдаются похожие аномалии параметров решетки (рис. 2 и 3), о величине которых можно судить по разнице между зависимостями $\Delta a/a$ и $\Delta c/c$ данного РЗ ванадата и $GdVO_4$. Видно, что для исследованных ванадатов магнитоупругий вклад положителен для параметра c при всех температурах, но отрицателен для параметра a . Из рис. 2 и 3 отчетливо видно, что магнитоупругий вклад максимальен для Dy -ванадата и постепенно уменьшается для ванадатов Tb , Tm и Ho . Для $TbVO_4$ резкая аномалия на зависимости $\Delta a/a$ (более точно на зависимости межплоскостного расстояния d_{100}) при $T \approx 35$ К обусловлена орторомбическим искажением кристаллической структуры за счет кооперативного эффекта Яна-Теллера (КЭЯТ), и ее величина связана со степенью орторомбического искажения структуры. Вдоль тетрагональной оси для $TbVO_4$ при $T \approx 35$ К также имеется небольшая аномалия, хотя структурный фазовый переход за счет КЭЯТ, как правило, обуславливает деформацию решетки только в базисной плоскости и не сопровождается изменением объема. Можно предположить, что эта аномалия возникает из-за изменения магнитоупругого вклада вследствие изменения спектра иона Tb в орторомбической фазе.

Для $HoVO_4$ магнитоупругий вклад незначителен при температурах выше 100 К, но резко возрастает при более низких температурах. Тепловое расширение $HoVO_4$ вдоль оси c больше, чем $GdVO_4$, при высоких температурах, но соотношение меняется при низких температурах. Это, на наш взгляд, свидетельствует об отличии фононного вклада ванадатов Ho и Gd . Для $TmVO_4$ магнитоупругий вклад вдоль оси a значителен и сравним при низких температурах, например, с ванадатом Ho . Однако магнитоупругий вклад в тепловое расширение вдоль тетрагональной оси с учетом изменения фононного вклада ванадатов Tm и Gd мал, и не исключено, что он имеет другой знак. Это необычное поведение может быть обусловлено, на наш взгляд, некоторым отличием магнитоупругих констант $B^{\alpha 1}$ и $B^{\alpha 2}$ для $TmVO_4$ по сравнению с другими ванадатами.

Чтобы выделить магнитоупругий вклад РЗ ионов в тепловое расширение, необходимо корректно учесть фононный вклад. Рентгенографические исследования $GdVO_4$ позволяют произвести только оценки этого вклада, поскольку он зависит от различных факторов, которые сложным образом меняются по ряду РЗ ионов. Изменение фононного вклада при изменении молекулярного веса соединения легко учитывается в дебаевской модели теплового расширения. Гораздо сложнее учесть зависимость фононного вклада от других параметров соединения: параметров решетки, степени тетрагональности, упругих свойств решетки и т.д.

Наибольшая неопределенность при выделении магнитоупругого вклада возникает для параметра c , когда фононный вклад и его изменение по РЗ ряду существенны, а величина магнитоупругого вклада мала по сравнению с фононным. Это ограничивает точное определение магнитоупругого вклада и, как следствие, магнитоупругих констант $B^{\alpha 1}$ и $B^{\alpha 2}$ и позволяет провести только оценки этих величин.

По сравнению с GdVO_4 для РЗ ванадатов с $R=\text{Tb}-\text{Tm}$ поправки к фононному вкладу за счет изменения молекулярных весов $\delta(\Delta a/a)$, $\delta(\Delta c/c)$ отрицательны и монотонно увеличиваются по абсолютной величине от Tb к Tm . Это значит, что на рис. 2 и 3 фононные вклады $(\Delta a/a)_{ph}$, $(\Delta c/c)_{ph}$, например, для HoVO_4 пройдут ниже соответствующих зависимостей $\Delta a/a$ и $\Delta c/c$ для GdVO_4 , причем разница монотонно увеличивается с понижением температуры, достигая при 10 К величин $0.09 \cdot 10^{-4}$ и $0.53 \cdot 10^{-4}$ соответственно. С учетом этой поправки фононный вклад $(\Delta c/c)_{ph}$ для HoVO_4 пройдет ниже зависимости $\Delta c/c$ GdVO_4 , т.е. магнитоупругий вклад для параметра c HoVO_4 при всех температурах положителен.

4. Обсуждение результатов

Как следует из формул (4), вклад РЗ ионов в тепловое расширение определяется магнитоупругими коэффициентами $B^{\alpha 1}$, $B^{\alpha 2}$ и изменением квадрупольного момента $Q_0 = \frac{1}{3} \alpha_J \langle O_2^0 \rangle$ с температурой. Температурные зависимости квадрупольных моментов Q_0 вычислены нами для известных электронных структур РЗ ионов в структуре ванадата [11–14] (рис. 4). К сожалению, не для всех ванадатов с тяжелыми РЗ ионами в литературе имеются надежные данные по КП. Для некоторых имеются лишь параметры, полученные экстраполяцией от соседних РЗ ионов по процедуре, развитой Моррисоном и Левиттом [15], или для легированных соединений в матрицах ванадатов Y или Lu . Подчеркнем, однако, что для большинства макроскопических свойств, и для теплового расширения в том числе, различные наборы параметров КП дают результаты, отличающиеся не более чем на 10–15%.

Отметим некоторые особенности температурных зависимостей квадрупольных моментов Q_0 по ряду РЗ ванадатов (рис. 4). Наибольшее изменение Q_0 в соответствии с экспериментом наблюдается для DyVO_4 . В области температур ниже 40 К имеется резкое возрастание квадрупольного момента для ванадата Dy и, наоборот, его уменьшение при понижении температуры для ванадата Tb . Из-за структурных фазовых переходов эти дополнительные низкотемпературные аномалии теплового расширения для концентрированных соединений DyVO_4 и TbVO_4 не наблюдаются, однако они могут быть исследованы в соответствующих разбавленных соединениях. Для HoVO_4 и TmVO_4 изменения квадрупольных моментов в интервале температур 2–300 К подобны и характеризуются резким возрастанием при низких температурах. Соответствующие экспериментальные зависимости теплового расширения для этих двух ванадатов, как уже отмечалось, заметно различаются. Сравнительно редкая ситуация реализуется для ErVO_4 : квадрупольный момент мал и положителен (как и для других ванадатов) при высоких температурах, но меняет знак при понижении температуры.

Величина экспериментально наблюдаемого магнитоупругого вклада в тепловое расширение коррелирует с изменением по ряду РЗ ванадатов рассчитанных температурных зависимостей квадрупольного момента Q_0 , за исключением, может быть, TmVO_4 . Это позволяет сделать вывод о том, что в первом приближении магнитоупругие коэффициенты $B^{\alpha 1}$ и $B^{\alpha 2}$ не слишком различаются по ряду РЗ ванадатов. Для

оценки магнитоупругих коэффициентов $B^{\alpha 1}$ и $B^{\alpha 2}$ мы использовали экспериментальные данные для HoVO_4 , имеющего резкую аномалию в области низких температур. Чтобы уменьшить влияние неопределенности фононного вклада, мы выбрали интервал температур 80–10 K, для которого изменение магнитоупругого вклада $[\Delta a(T_1)/a - \Delta a(T_2)/a]$ максимально, а изменение фононного вклада при этом не превышает 10–15% от магнитоупругого.

В интервале температур 80–10 K магнитоупругий вклад для параметров a и c ванадата Ho составляет $3.05 \cdot 10^{-4}$ и $-2.7 \cdot 10^{-4}$ соответственно. Используя для расчета упругие константы C_{11} , C_{12} и C_{33} HoVO_4 из [16] и полагая $C_{12} \approx C_{13}$, мы получили следующие величины симметризованных упругих констант (на формульную единицу в 10^5 K): $C_0^{\alpha 1} = 25$, $C_0^{\alpha 2} = 11$, $C_0^{\alpha 12} = 1.7$. Магнитоупругие константы при этом составляют $B^{\alpha 1} = -4.2 \cdot 10^3$ K/ion и $B^{\alpha 2} = 5.9 \cdot 10^3$ K/ion, т.е. константа $B^{\alpha 2}$ примерно в полтора раза больше и имеет противоположный знак по сравнению с константой $B^{\alpha 1}$. Отметим, что для большинства РЗ фосфатов из аномалий теплового расширения получены аналогичные знаки и близкие отношения $B^{\alpha 1}/B^{\alpha 2}$ для магнитоупругих констант [7].

Знаки магнитоупругих вкладов в тепловое расширение RVO_4 противоположны определенным ранее для RPO_4 . Это связано, на наш взгляд, с различными КП в фосфатах и ванадатах [11–14] и главным образом с разными знаками параметра второго порядка B_2^0 [7]. Роль параметра B_2^0 становится яснее из сравнения тетрагональной и кубической симметрии: при понижении симметрии от кубической до тетрагональной возникает отличный от нуля параметр B_2^0 и изменяется фиксированное для кубической симметрии соотношение между параметрами более высокого порядка. При этом у РЗ иона возникает отличный от нуля квадрупольный момент и анизотропия магнитных свойств вдоль и перпендикулярно тетрагональной оси. Численные расчеты показывают, что спектр и волновые функции РЗ иона (и в результате квадрупольный момент) кардинально меняются при изменении знака этого параметра: расщепление вырожденных при кубической симметрии уровней в зависимости от знака B_2^0 характеризуется разной последовательностью дублетов и синглетов. Таким образом, разные знаки параметра КП B_2^0 в фосфатах и ванадатах обусловливают разные знаки квадрупольных моментов, а следовательно, и магнитоупругих вкладов РЗ ионов в тепловое расширение в этих структурах.

Таким образом, в настоящей работе проведены систематические, для ряда тяжелых РЗ ионов, экспериментальные и теоретические исследования теплового расширения ванадатов RVO_4 . Обнаружен значительный магнитоупругий вклад в тепловое расширение RVO_4 , а также существенное различие этого вклада для редкоземельных ванадатов и фосфатов. Показано, что аномалии теплового расширения РЗ ванадатов хорошо описываются температурными зависимостями квадрупольных моментов РЗ ионов, рассчитанных на основе известных параметров КП. Из экспериментальных величин магнитоупругих аномалий параметров решетки a и c оценены полносимметричные одиночные магнитоупругие константы ванадата Ho $B^{\alpha 1} = -4.2 \cdot 10^3$ K/ion и $B^{\alpha 2} = 5.9 \cdot 10^3$ K/ion, которые имеют такой же знак и порядок величины, что и константы для РЗ фосфатов.

Работа поддержана Российским фондом фундаментальных исследований, грант № 94-02-05231.

Список литературы

- [1] Gehring G.A., Gehring K.A. Rep. Prog. Phys. **38**, 1 (1975).
- [2] Morin P., Rouchy J., Schmitt D. Phys. Rev. **B 37**, 10, 5401 (1988).
- [3] Luthi B., Niksch M., Takke R. Crystalline Electric Field Effects in f-electron Magnetism / Ed. R.P.Guertin. N.Y. (1982) P. 283.
- [4] Aleonard R., Morin P. J. Magn. Magn. Mater. **84**, 225 (1990).
- [5] Morin P. and Rouchy J. Phys. Rev. **B 48**, 1, 256 (1993).
- [6] Kolmakova N.P., Levitin R.Z., Orlov V.N., Vedernikov N.F. J. Magn. Magn. Mater. **87**, 218 (1990).
- [7] Sokolov V.I., Kazei Z.A., Kolmakova N.P. Physica **B 176**, 1, 101 (1992).
- [8] Morin P., Rouchy J., Kazei Z. (to be published).
- [9] de Lacheisserie E. Ann. Phys. **5**, 267 80 (1970).
- [10] Gobel H., Will G. Phys. Stat. Sol. (b) **50**, 1, 147 (1972).
- [11] Guo M.-D., Aldred A.T., Chan S.-K. J. Phys. Chem. Sol. **48**, 3, 229 (1987).
- [12] Bleaney B., Gregg J.F., Hansen P., Huan C.H.A., Lazzouni M., Leask M.J.M., Morris I.D., Wells M.R. Proc. Roy. Soc (London) **A416**, 1, 63 (1988).
- [13] Kuse D. Z. Phys. **203**, 1, 49 (1967).
- [14] Wortman D.E., Leavitt R.P., Morrison C.A. J.Phys. Chem. Sol. **35**, 2, 59 (1974).
- [15] Morrison C.A., Leavitt R.P. J. Chem. Phys. **71**, 6, 2366 (1979).
- [16] Goto T., Tamaki A., Fujimura T., Unoki H. J. Phys. Soc. Jap. **55**, 5, 1613 (1986).